

М. И. РОГАЙЛИН,
Е. Ф. ЧАЛЫХ

СПРАВОЧНИК
ПО УГЛЕГРАФИТОВЫМ
МАТЕРИАЛАМ

*Михаил Иванович Рогайлин
Евгений Федорович Чалых*

**Справочник
по углеграфитовым материалам**

Редактор Э. А. Колодин

Редактор издательства С. Л. Томарченко

Технический редактор Ф. Т. Черкасская

Корректор Б. Н. Тамаркина

Переплет художника А. П. Рыбакова

М-09111. Сдано в наб. 30/VII 1973 г. Подп. в печ. 23/I 1974 г. Формат
бумаги 60×90^{1/4}. Бумага типогр. № 3. Усл. печ. л. 13,0. Уч. изд.
л. 13,9. Тираж 3600 экз. Заказ 850. Изд. № 114. Цена 86 коп.

Издательство „Химия“, Ленинградское отделение, 191186, Ленин-
град, Д-186, Невский пр., 28

Ордена Трудового Красного Знамени Ленинградская типография
№ 2 имени Евгении Соколовой Союзполиграфпрома при Государ-
ственном комитете Совета Министров СССР по делам изда-
тельств, полиграфии и книжной торговли,
198052, Ленинград, 'Л-52, Измайловский проспект, 29

**М. И. РОГАЙЛИН,
Е. Ф. ЧАЛЫХ**

**СПРАВОЧНИК
ПО УГЛЕГРАФИТОВЫМ
МАТЕРИАЛАМ**



**ИЗДАТЕЛЬСТВО «ХИМИЯ»
Ленинградское отделение · 1974**

Рогайлин М. И., Чалых Е. Ф.

P59 Справочник по углеррафитовым материалам. Л.,
«Химия», 1974.

208 стр., 113 рис., 197 табл., список литературы 38 ссылок.

Графит обладает уникальными свойствами и поэтому широко применяется в самых различных областях промышленности. В справочнике представлены важнейшие сведения об отечественных углеррафитовых материалах. В отличие от других справочных изданий, здесь впервые собраны данные о химической аппаратуре и многочисленных углеррафитовых изделиях, выпускаемых электродной и электроугольной промышленностью. При этом приводятся требования технических условий и ГОСТов и фактические данные.

Справочник предназначен для инженерно-технических и научных работников заводских лабораторий, научно-исследовательских и проектных институтов и конструкторских бюро, а также многих других организаций, занимающихся разработкой и применяющими углеррафитовые материалы и изделия из них. Он может быть полезен преподавателям и студентам вузов.

P 31407—182
050 (01)—1974 111—73

Содержание

| | |
|---|----|
| Предисловие | 5 |
| Г л а в а 1. Свойства графита | 7 |
| Кристаллическая структура | 7 |
| Диаграмма состояния углерода | 8 |
| Состав паровой фазы углерода | 9 |
| Скорость испарения | 10 |
| Анизотропия свойств | 10 |
| Ядернотехнические свойства | 11 |
| Термоэмиссионная характеристика | 11 |
| Смачивание и растворимость в системе графит — расплав | 11 |
| Г л а в а 2. Свойства углеграфитовых материалов | 14 |
| Плотность | 14 |
| Пористость | 16 |
| Прочность | 19 |
| Модуль упругости | 22 |
| Коэффициент Пуассона | 23 |
| Ползучесть | 24 |
| Трение | 25 |
| Твердость | 26 |
| Теплоемкость | 27 |
| Теплопроводность | 28 |
| Термическое расширение | 33 |
| Электропроводность | 36 |
| Магнитная восприимчивость | 38 |
| Излучательная способность | 38 |
| Химические свойства | 39 |
| Г л а в а 3. Конструкционные углеграфитовые материалы | 43 |
| Антифрикционные материалы | 43 |
| Графит для электроэррозионной обработки металлов | 50 |
| Графиты высокой плотности | 51 |
| Пористые углеродные материалы | 53 |
| Графиты марок МПГ-6 и МПГ-8 | 54 |
| Графиты высокой чистоты | 55 |
| Особо чистые высокопрочные графиты с защитным покрытием | 57 |
| Особо чистый пирографит | 58 |
| Электроды и материалы для спектрального анализа | 58 |
| Стекловидный углерод | 60 |
| Конструкционные графиты общего назначения | 63 |
| Силицированный графит | 67 |

| | |
|---|------------|
| Г л а в а 4. Электродные изделия | 68 |
| Графитированные электроды | 68 |
| Угольные электроды | 75 |
| Блоки и плиты | 79 |
| Блоки для доменных печей | 80 |
| Угольные футеровочные блоки | 82 |
| Угольные аноды | 89 |
| Графитированные аноды | 90 |
| Угольные трубы | 104 |
| Графитированные стержни | 105 |
| Углеродистые массы и пасты | 106 |
| Г л а в а 5. Электроугольные изделия | 109 |
| Щетки для электрических машин | 109 |
| Щетки для автотракторных электрических машин | 114 |
| Щетки для электрических бритв | 117 |
| Осветительные угли | 117 |
| Киносъемочные угли | 119 |
| Кинопроекционные угли | 122 |
| Угли для дуговых ламп в приборах | 125 |
| Светокопировальные угли | 127 |
| Угольные высокоинтенсивные электроды типа 32-1100 | 127 |
| Изделия для техники связи | 128 |
| Микрофонные порошки | 129 |
| Угольные мембранны для микрофонов | 131 |
| Угольные пластины для разрядников | 132 |
| Элементные угли | 133 |
| Угли для термических целей | 135 |
| Сварочные угли | 135 |
| Угли для воздушно-дуговой резки | 137 |
| Электроды малых сечений | 137 |
| Графитовые аноды и сетки для электровакуумных приборов | 138 |
| Угольные столбы для автоматических регуляторов напряжения и тока | 141 |
| Угольно-керамические объемные электрические сопротивления | 144 |
| Прерывающие и скользящие контакты | 145 |
| Контакты для автотракторного электрооборудования | 146 |
| Угольные контактные вставки для токоприемников электроподвижного состава и троллейбусов | 147 |
| Контакты для регуляторов напряжения (вариаторов) | 151 |
| Контакты для регуляторов напряжения вибрационного типа | 152 |
| Контакты марки КШМ | 153 |
| Уплотнительные кольца | 153 |
| Г л а в а 6. Химическая аппаратура из графитовых материалов | 159 |
| Материалы для изготовления аппаратуры | 159 |
| Теплообменная аппаратура | 165 |
| Блочные теплообменники | 165 |
| Кожухоблочные теплообменники | 181 |
| Кожухотрубчатые теплообменники | 185 |
| Оросительные теплообменники (холодильники) | 188 |
| Погруженные теплообменные элементы | 190 |
| Колонны, испарители, абсорбера | 193 |
| Блоки, трубы, соединительная арматура | 199 |
| Блоки из пропитанного графита | 199 |
| Трубы из графитопласта АТМ-1 | 199 |
| Фитинги (соединительная арматура) | 200 |
| Центробежный одноступенчатый насос | 204 |
| Список использованной литературы | 205 |

Углеграфитовые материалы получили широкое распространение в различных отраслях промышленности — металлургической, химической, электротехнике, их используют как конструкционные и строительные материалы, в новой технике — электронике, атомной энергетике, полупроводниковой, ракетной технике, в машино-, авиа- и аппаратостроении. По отдельным видам материалов и изделий опубликовано довольно много справочной литературы. Однако разобщенность публикаций затрудняет их использование. В связи с этими обстоятельствами появилась большая потребность в справочном руководстве, в котором были бы собраны все необходимые данные об углеграфитовых материалах и разнообразных изделиях, выпускаемых в настоящее время отечественной промышленностью.

В имеющихся справочниках материалы обычно группируются по различным признакам — по области применения, распространенности, классу соединений и т. п. Составители данного справочника, считаясь с принятой в СССР организацией углеграфитовой промышленности, систематизировали сведения об углеграфитовых материалах преимущественно по промышленному признаку. Так, сведения о графитированных анодах, используемых только в электролитических процессах (электролиз поваренной соли), помещены в гл. 4 «Электродные изделия», а сведения об анодах и сетках, применяемых в электровакуумных приборах, — в гл. 5 «Электроугольные изделия».

Данные о свойствах графита и углеграфитовых материалах приводятся — вслед за первоисточниками — как в единицах системы СИ, так и в других единицах измерения.

Приводим переводные коэффициенты:

$$1 \text{ кгс} = 9,81 \text{ Н};$$

$$1 \text{ кгс}/\text{мм}^2 = 9,81 \cdot 10^6 \text{ Н}/\text{м}^2 = 9,81 \text{ МН}/\text{м}^2;$$

$$1 \text{ кгс}/\text{см}^2 = 9,81 \cdot 10^4 \text{ Н}/\text{м}^2;$$

$$1 \text{ Ом} \cdot \text{мм}^2/\text{м} = 10^{-6} \text{ Ом} \cdot \text{м} = \text{мкОм} \cdot \text{м};$$

$$1 \text{ ккал}/(\text{м} \cdot \text{ч} \cdot {}^\circ\text{C}) = 1,16 \text{ Вт}/(\text{м} \cdot \text{К});$$

$$1 \text{ ккал} = 4,19 \text{ кДж};$$

$$1 \text{ мм рт. ст.} = 133 \text{ Н}/\text{м}^2.$$

При составлении справочника широко использованы действующие в настоящее время ГОСТы, технические условия, а также фактические данные о выпускаемых отечественной промышленностью изделиях.

Гл. 2 написана М. И. Рогайлиным, остальные главы — Е. Ф. Чалых.

Авторы будут благодарны за все замечания и советы по справочнику.

Свойства графита

Графит и алмаз встречаются в природе как аллотропные модификации свободного углерода. В Периодической системе Д. И. Менделеева углерод расположен в четвертой группе элементов. Порядковый номер углерода 6, массовое число наиболее распространенного (98,892 %) стабильного углерода 12. Ядро атома углерода состоит из 6 протонов и 6 нейтронов. Атомный вес природного углерода $12,01115 \pm 0,00005$. Это объясняется существованием (1,108 %) также стабильного изотопа с массовым числом 13.

Кристаллическая структура

Согласно идеализированной модели, предложенной Берналом, структура графита представляет собой непрерывный ряд слоев, параллельных основной плоскости и состоящих из гексагонально связанных друг с другом атомов углерода. В природе встречаются две структурные формы графита, соответствующие двум кристаллическим модификациям, — гексагональная и ромбоэдрическая. Они различаются расположением слоев. Для гексагональной структуры характерно смещение слоев в плоскости так, что под центром и над центром каждого шестиугольника в прилегающих слоях находится атом углерода. При этом любой шестиугольник в каждом третьем слое лежит над шестиугольником в первом слое.

Ромбоэдрическая структура имеет также слои плоских шестиугольных сеток. Однако эти слои сдвинуты в направлении, перпендикулярном к оси *c*, иначе, чем в гексагональном графите: каждый четвертый слой повторяет первый. Содержание ромбоэдрической модификации в естественных графитах может достигать 30 %. В искусственном графите ромбоэдрическая структура, как правило, не наблюдается.

Расстояние между атомами углерода в плоскости слоя равно 1,415 Å, между соседними слоями 3,3538 Å. Внутри слоя каждый атом окружен тремя соседними, углы между связями равны 120°. Энергия этих связей оценивается в 170 ккал/г-ат. Четвертый, валентный электрон располагается в пространстве между базисными плоскостями. Силы взаимодействия между базисными плоскостями малы и имеют характер дисперсионных (вандерваальсовых). По различным данным, энергия связи плоскостей составляет от 1 до

4,36 ккал/г·ат, причем ее изменение с температурой незначительное — от 4 ккал/г·ат при -196°C до 3,6 ккал/г·ат при 1118°C .

Все виды искусственного и естественного графита характеризуются наличием различных устойчивых дефектов структуры, отличающих реальную от описанной выше идеализированной структуры и влияющих на многие свойства графитов. Основные типы таких дефектов: дефекты упаковки слоев (нарушение последовательности их чередования, так называемое турбостратное состояние), дефекты в связях углеродной решетки (разделение слоев на конечные кристаллиты), краевые и «дырочные» дефекты, дефекты, вызванные внедрением инородных атомов.

Объяснение большого разнообразия физических свойств различных видов углеродистых материалов следует искать в величине отдельных кристаллов и их группировке, а также в специфичности кристаллической структуры графита.

Диаграмма состояния углерода

Построение диаграммы состояния в системе углерода (рис. 1.1) затруднено чрезвычайно высокими температурами плавления и

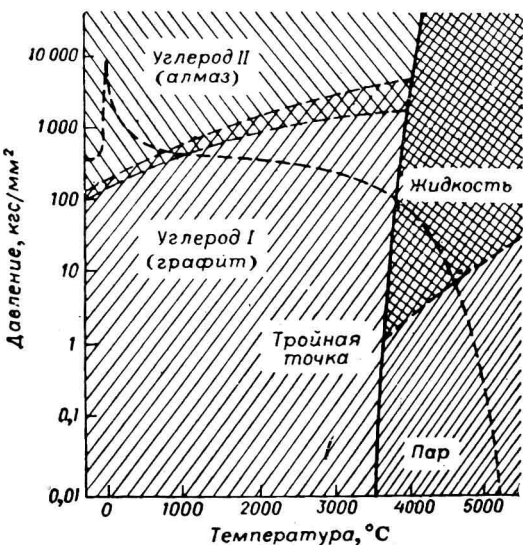


Рис. 1.1. Диаграмма состояния углерода.

сублимации углерода. До настоящего времени экспериментально проверена только часть диаграммы. Однако граница между областью стабильности графита и его парами при низких давлениях установлена точно. Линия равновесия графит — пар показывает, что давление паров углерода быстро возрастает от 1 ат при 3640 ± 25 К до 105 ат при 4000 К. По мере увеличения давления

температура испарения быстро возрастает. Температура тройной точки (графит — жидкость — пар) составляет 4020 ± 50 К при давлении 125 ± 15 ат. Граница между областями стабильности алмаза и графита установлена еще менее точно и имеет мало прямых экспериментальных подтверждений. На диаграмме состояния эта неопределенность характеризуется областью, ограниченной пунктирными линиями, расположенными между областями стабильности алмаза и графита. Эти линии были рассчитаны термодинамическими методами с использованием экспериментальных значений плотности, сжимаемости, коэффициента термического расширения графита и алмаза.

Вторая тройная точка соответствует равновесию алмаз — графит — жидкий углерод. Определена она не очень точно и находится при температуре ~ 4100 К и давлении 125 000—130 000 ат. Пунктирная кривая, пересекающая диаграмму, ограничивает область экспериментальных исследований.

Состав паровой фазы углерода

Установлено, что углерод в газообразном состоянии находится как в виде атомов, так и в виде многоатомных частиц: C_2 , C_3 , C_4 , C_5 и более сложных. Энергии, необходимые для отрыва атомов углерода от молекул разной сложности, приведены в табл. 1.1.

Таблица 1.1
Энергия отщепления атомов углерода от газообразных молекул,
энергия диссоциации молекул и энергия связи
в молекулах углерода

| Реакция | ΔH_0° , ккал/г-ат | D_0 , ккал/моль | $-E_0$, ккал/г-ат | Реакция | ΔH_0° , ккал/г-ат | D_0 , ккал/моль | $-E_0$, ккал/г-ат |
|-----------------|--------------------------------|-------------------|--------------------|--------------------|--------------------------------|-------------------|--------------------|
| $C_2 = 2C$ | 143,17 | 143,17 | 71,59 | $C_7 = C_6 + C$ | 193,60 | 939,07 | 134,15 |
| $C_3 = C_2 + C$ | 177,59 | 320,76 | 106,92 | $C_8 = C_7 + C$ | 132,10 | 1071,17 | 133,90 |
| $C_4 = C_3 + C$ | 128,11 | 448,87 | 112,22 | $C_9 = C_8 + C$ | 187,90 | 1259,07 | 139,90 |
| $C_5 = C_4 + C$ | 166,60 | 615,47 | 123,09 | $C_{10} = C_9 + C$ | 134,30 | 1393,37 | 139,34 |
| $C_6 = C_5 + C$ | 130,00 | 745,47 | 124,25 | | | | |

В зависимости от температурных условий состав паровой фазы углерода может изменяться. При температурах ниже 2000 К преобладает атомарный углерод. С повышением температуры содержание его резко уменьшается и при температуре около 2500 К насыщенный пар над графитом состоит преимущественно из молекул углерода. В табл. 1.2 приведены данные о равновесном давлении

пара над графитом, из которых следует, что оно определяется трехатомными молекулами, относительное содержание которых резко увеличивается с ростом температуры.

Таблица 1.2
Равновесное давление паров углерода

| T, K | C | C_1 | C_2 | C_3 |
|--------|-----------------------|-----------------------|-----------------------|-----------------------|
| 1700 | $9,13 \cdot 10^{-14}$ | $1,29 \cdot 10^{-14}$ | $1,62 \cdot 10^{-16}$ | $7,83 \cdot 10^{-14}$ |
| 1800 | $1,99 \cdot 10^{-12}$ | $2,30 \cdot 10^{-13}$ | $4,17 \cdot 10^{-15}$ | $1,71 \cdot 10^{-12}$ |
| 1900 | $3,08 \cdot 10^{-11}$ | $2,75 \cdot 10^{-12}$ | $7,54 \cdot 10^{-14}$ | $2,72 \cdot 10^{-11}$ |
| 2000 | $3,65 \cdot 10^{-10}$ | $2,08 \cdot 10^{-11}$ | $1,03 \cdot 10^{-12}$ | $3,27 \cdot 10^{-10}$ |
| 2200 | $2,55 \cdot 10^{-8}$ | $1,36 \cdot 10^{-9}$ | $0,21 \cdot 10^{-11}$ | $2,33 \cdot 10^{-8}$ |
| 2400 | $8,52 \cdot 10^{-7}$ | $3,71 \cdot 10^{-8}$ | $3,77 \cdot 10^{-9}$ | $8,10 \cdot 10^{-7}$ |
| 2600 | $1,67 \cdot 10^{-5}$ | $5,59 \cdot 10^{-7}$ | $8,82 \cdot 10^{-8}$ | $1,60 \cdot 10^{-5}$ |
| 2800 | $2,13 \cdot 10^{-4}$ | $5,95 \cdot 10^{-6}$ | $1,30 \cdot 10^{-6}$ | $2,07 \cdot 10^{-4}$ |
| 3000 | $1,89 \cdot 10^{-3}$ | $4,61 \cdot 10^{-5}$ | $1,30 \cdot 10^{-5}$ | $1,84 \cdot 10^{-3}$ |

Скорость испарения

Зависимость скорости испарения графита в вакууме ($10^{-3} - 10^{-4}$ мм рт. ст.) от температуры может быть выражена формулой:

$$\lg W = 9,072 - \frac{38,650}{T}$$

На рис. 1.2 приведены скорости испарения графитов некоторых промышленных марок.

Анизотропия свойств

В монокристалле природного графита имеются два основных направления, по которым его свойства резко различны: одно направление — вдоль слоя графита, другое — перпендикулярно плоскости слоя. В направлении вдоль слоя (по оси a) электро- и теплопроводность, например, значительно выше, чем в перпендикулярном к слою (по оси c).

Атомы углерода в кристалле графита совершают колебания около своих положений равновесия. При этом, в соответствии с силовыми

Рис. 1.2. Зависимость скорости испарения графита в вакууме ($10^{-3} - 10^{-4}$ мм рт. ст.) от температуры:
1 — ГЭ; 2 — ГМЗ и ППГ.

постоянными, частоты их колебаний в двух взаимно перпендикулярных направлениях различны. Предельная частота колебаний атомов вдоль слоя (по оси a) будет намного больше, чем в направ-

влении оси c . Следовательно, слоистый кристалл графита будет обладать не одной дебаевской характеристической температурой, а двумя, соответствующими двум предельным частотам.

Ядернотехнические свойства

Ядернотехнические свойства графитов, используемых в атомной энергетике, должны обеспечивать эффективную работу атомных реакторов. Ниже приводятся наиболее важные данные, относящиеся к чистым графитам:

| | |
|--|---------------------------|
| Макроскопическое сечение захвата | 0,000299 см ⁻¹ |
| Макроскопическое сечение рассеяния | 0,385 см ⁻¹ |
| Замедляющая способность | 0,0608 см ⁻¹ |

Термоэмиссионная характеристика

Зависимость плотности тока эмиссии от температуры выражается уравнением:

$$\lg i = \lg A + 2 \lg T - \frac{5040}{T} \varphi$$

где i — плотность тока эмиссии, А/см²; A — постоянная Ричардсона, А/(см²·К); φ — работа выхода электрона, эВ.

Работа выхода электрона $\varphi = 4,7$ эВ
Постоянная Ричардсона $A = 60$ А/(см²·К)

Приводим данные о порядке значений плотности тока эмиссии при различных температурах (следует учитывать, что термоэмиссионные характеристики сильно меняются в зависимости от состояния поверхности, прежде всего от присутствия даже тончайших пленок окислов и других примесей).

| | | | |
|--|-----------|------|----------------|
| Температура T , К | 1000 | 1500 | 2000 |
| Плотность тока эмиссии i , А/см ² | 10^{-8} | 5 | $2 \cdot 10^3$ |

Смачивание и растворимость в системе графит—сплав

Для характеристики взаимодействия между графитом и жидкими металлами и сплавами приводятся данные о краевых углах смачивания θ , работе адгезии W_a , поверхностная энергия $\sigma_{ж}$ (табл. 1.3 и 1.4). Как видно из этих данных, взаимодействие между графитом и сплавами усиливается при введении в последние карбидообразующих добавок. Кроме того, показателем

Таблица 1.3

Взаимодействие между графитом и жидкими металлами

| Жидкие металлы | Температура, °C | Краевой угол смачивания θ, ° | Поверхностная энергия σж, эрг/см² | Работа адгезии Wа, эрг/см² | Среда |
|----------------|-----------------|------------------------------|-----------------------------------|----------------------------|---------|
| Cu | 1100 | 140 | 1340 | 315 | |
| Cu + 10,2% Ti | 1150 | 0 | 1330 | 2660 | Вакуум |
| Cu + 0,6% Cr | 1150 | 84 | 1330 | 1380 | » |
| Cu + 6,1% Cr | 1150 | 40 | 1330 | 2330 | » |
| Cu + 12,0% Cr | 1150 | 23 | 1330 | 2535 | » |
| Cu + 24% Mn | 1200 | 70 | 1325 | 1780 | » |
| Cu + 5,0% Co | 1300 | 138 | 1315 | 340 | » |
| Cu + 5,0% Ni | 1300 | 140 | 1315 | 310 | » |
| Cu + 10 % Ni | 1500 | 139 | 1295 | 345 | |
| Cu + 20 % Ni | 1500 | 134 | 1295 | 400 | Гелий |
| Sn | 1000 | 149 | 450 | 65 | Вакуум |
| Sn + 0,9% Ti | 1150 | 76 | 1330 | 560 | » |
| Sn + 7,1% Ti | 1150 | 5 | 1330 | 900 | » |
| Pb | 800 | 138 | 420 | 75 | |
| Ag | 980 | 136 | 925 | 255 | » |
| Ag + 0,1% Ti | 1000 | 85 | 910 | 990 | » |
| Ag + 1,0% Ti | 1000 | 7 | 910 | 1810 | » |
| Bi | 800 | 136 | 355 | 95 | Водород |
| Sb | 900 | 140 | 360 | 85 | » |
| In | 800 | 141 | 495 | 105 | Вакуум |
| Ga | 1000 | 137 | 640 | 170 | » |
| Ge | 1000 | 139 | 660 | 100 | » |

Таблица 1.4

Взаимодействие между графитом и переходными жидкими металлами

| Жидкие металлы | Температура, °C | Краевой угол смачивания θ, ° | Среда | Жидкие металлы | Температура, °C | Краевой угол смачивания θ, ° | Среда |
|--|-----------------------|------------------------------|------------------------|----------------|----------------------|------------------------------|------------------|
| Fe | 1425; 1539 1550 | 60 60 37 | Вакуум » Водород | Ti Ni | 1725 1455 1500 | 0 50 90 | Вакуум » » |
| Fe + 4,3% C | 1539 | 90 | Вакуум | Ni + 2,3% C | 1500 | 68 | Водород |
| Fe + 5,0% C | 1539 | 130 | » | Co | 1455 1425 1495 | 145 82 35 | Вакуум » » |
| Чугун (3,5% C, 1,14% Si, 0,57% Mn, 0,03% S, 0,03% P) | 1140 | 108 | Аргон | Co + 2,7% C | 1495 | 130 | |
| Чугун (3,3% C, 2% Si, 0,75% P, 1% Mn, 0,053% S) | 1140 | 104 | » | Zr Nb | 1900 2700 | 0 60 | » » |

и интенсивности взаимодействия углерода с жидкими металлами может служить его предельная растворимость (табл. 1.5).

Таблица 1.5

Предельная растворимость углерода в жидких металлах

| Жидкие металлы | Содержание углерода, ат. % | Температура, °C | Жидкие металлы | Содержание углерода, ат. % | Температура, °C |
|----------------|----------------------------|-----------------|----------------|----------------------------|-----------------|
| Fe | 20,2 | 1500 | Pt | 16,5 | 1734 |
| Cu | $0,053 \cdot 10^{-4}$ | 1100 | Co | 13,9 | 1500 |
| | $0,2 \cdot 10^{-4}$ | 1600 | Cd | 767 | |
| Zn | Следы | 907 | Mn | 24,9 | 1365 |
| Sn | » | 2270 | | 27,2 | 1460 |
| Pb | 1,58 | 1555 | As | Следы | 615 |
| Ag | $1 \cdot 10^{-4}$ | 1660 | Ru | 29,8 | 2450 |
| Ni | 9,6—11,8 | 1500 | Rh | 16,0 | 1966 |
| Hg | Следы | 357 | Bi | 0,4 | 1490 |
| Au | » | 2970 | Os | 40,0 | 5500 |
| | | | Ir | 16,3 | 2440 |

Свойства углеграфитовых материалов

Углеграфитовые материалы изготавливаются из шихты — механической смеси, содержащей приблизительно 75 % полидисперсного кокса-наполнителя и 25 % каменноугольного пека-связующего *. Свойства углеграфитовых материалов характеризуются анизотропией, которая обусловлена, с одной стороны, гексагональной поликристаллической структурой искусственного графита, и, с другой, анизометрией частиц кокса-наполнителя. При формировании исходной массы путем выдавливания (прошивные заготовки) продолговатые частицы ориентируются наибольшими осями параллельно оси прессования, а при формировании в пресс-форме (прессованные заготовки) частицы ориентируются длинной осью перпендикулярно движению плунжера. В результате формования развивается преимущественная ориентация частиц наполнителя, приводящая после термической обработки к образованию определенной структуры и в конечном счете к различию свойств в направлении, параллельном и перпендикулярном оси прессования. В связи с этим для свойств углеграфитовых материалов обычно приводят два значения, одно из которых характеризует то или иное свойство в направлении, перпендикулярном оси прессования, а второе — в параллельном. Следует указать, что материалы, формуемые выдавливанием, показывают большую степень анизотропии, чем прессованные в пресс-форму.

Плотность

Искусственный графит характеризуют по плотности несколькими показателями: рентгенографической плотностью, пикнометрической (или истинной) и кажущейся плотностью.

Плотность идеального графита, рассчитанная на основании данных рентгеноструктурного анализа, равна 2,265 г/см³. Однако даже естественный графит с высокоупорядоченной структурой обычно имеет более низкую плотность, что связано с нарушением структуры. На рис. 2.1 приведена зависимость рентгенографической плотности графита от среднего межслоевого расстояния. Рентгенографическую плотность можно принять за характеристику совер-

* Характеристика выпускаемых отечественной промышленностью марок углеграфитовых конструкционных материалов имеется в гл. 3.

шенства кристаллической структуры графита. Для различных видов искусственного графита она обычно составляет 2,16—2,23 г/см³.

Таблица 2.1

Параметры кристаллической решетки и рентгенографическая плотность углеродистых материалов

| Материал | <i>c</i> , Å | <i>a</i> , Å | <i>c/a</i> | Средний размер кристаллита, <i>L_a</i> , Å | Плотность, г/см ³ |
|-----------------------|--------------|--------------|------------|--|------------------------------|
| Цейлонский графит | 6,72 | 2,46 | 2,73 | 1000 | 2,26 |
| Электродный графит | 6,74 | 2,45 | 2,75 | 500 | 2,27 |
| Пиролитический графит | 6,84 | 2,45 | 2,79 | 150 | 2,24 |
| Металлургический кокс | 7,1 | 2,42 | 2,93 | 20 | 2,21 |
| Стеклоуглерод | 7,2 | 2,41 | 2,99 | 16 | 2,20 |
| Древесный уголь | 10,6 | 2,31 | 4,60 | 6 | 1,63 |

В табл. 2.1 приведены параметры кристаллической решетки и рентгенографическая плотность некоторых структурных модификаций углерода. Как видно из таблицы, плотность углерода, полученного из различных исходных материалов, сильно отличается от теоретической.

Наиболее часто используемый на практике показатель — пикнометрическая плотность, определяемая методом гидростатического взвешивания (погружением в керосин), для различных материалов, термически обработанных при 3000 °C, приведена в табл. 2.2.

Величина пикнометрической плотности всегда несколько ниже рентгенографической. Это объясняется наличием в графите пор, недоступных для пикнометрической жидкости («закрытых пор»). Истинная плотность углеродитовых



Рис. 2.1. Зависимость рентгенографической плотности графита от среднего межслоевого расстояния.

Пикнометрическая плотность углеродистых материалов

| Материал | Плотность, г/см ³ | Материал | Плотность, г/см ³ |
|----------------------------------|------------------------------|--------------------|------------------------------|
| Активный уголь | 1,46 | Битуминозный уголь | 2,09 |
| Древесный уголь из мягких пород | 1,60 | Антрацит | 2,09 |
| Целлюлозный кокс | 1,68 | Пековый кокс | 2,14 |
| Кокс из древесных смол | 1,70 | Лигнит | 2,18 |
| Древесный уголь из твердых пород | 1,87 | Печная сажа | 2,18 |
| Ацетиленовая сажа | 2,04 | Ретортный уголь | 2,23 |
| | | Нефтяные коксы | 2,20—2,26 |
| | | Природный графит | 2,26 |